

碎波帯における波・流れの観測 (I)

愛媛大学工学部 正員 植沼忠男
愛媛大学工学部 正員 伊福 誠
東洋建設(株) 正員 ○藤原隆一

1. はじめに

碎波帯での波浪現象は、海岸付近の流れや漂砂の問題に密接に関連している。また、この碎波帯に海洋構造物が築造するにあつてもかかわらず、その水理特性は、十分に解明されていない。こうしたことから、実験的な研究は数多く報告されているが、碎波の運動機構が十分に解明されていない現状を考えると、Froude および Reynolds の相似則を用いて現地の現象を再現または実験結果を現地へ適用することとは、碎波帯の波浪現象の場合、疑問が生ずる。従って、このように碎波帯の波浪および流れの特性を解明するには、現地での詳細な観測が必要とされるにあつてもかかわらず、観測例は少いのが現状である。こうしたことから、愛媛県伊予市中予海岸において観測を行い、碎波時の波浪特性および碎波帯内の流れの特性を明らかにしようとするものである。

2. 観測方法

図-1に示すように、水压式波高計および電磁誘導型流速計(圧力計内蔵)を、それぞれ河口、河岸より沖合約287mおよび15.2mの地点に設置した。流速計は、2台のセンサが直交するように取り付け、架台上に固定し、コンクリートブロックで海底に固定した。2個のセンサおよび圧力計は、それぞれ、海底上 0.615, 1.028 および 0.763m の高さにあり、流速計のX軸は、卓越波向WNWとするようにした。

3. 解析結果

碎波指標：図-2(a)は、碎波の波高水深比および水深波長比との関係を示したものである。実測値は、山田・塩谷の等角写像法による最高波の理論値より約10~45%小さく、岩垣・酒井・開沼・川島の1/200の一様線勾配上での実験値と似た部分があるが、小さい場合が多く、また、Laitoneのクノイド波理論による最高波の理論値よりも約30%ほど小さい場合がみられる。図-2(b)は、碎波波高と深海波の波高の比と深海波の波形勾配との関係を示したものである。図中の破線および一点鎖線は、それぞれ、Wegzelが経験的に得た碎波型式の発生限界およびMunkが深海波と孤立波とを結びつけようとして得た碎波限界を示している。目視および写真撮影によると、現地の碎波型式は、spilling型碎波であるが、Wegzelが提案したplunging型碎波の領域と spilling型碎波が生じていることをわかる。また、実測値の傾向は、Munkの遷移値と似た傾向を示している。合田は、碎波の波高水深比を求める碎波指標より近似式を提案し、その式中の定数Aは0.17が妥当であるとしたが、岩垣・木村・岸田は、不規則波の実験より定数Aは、0.11~0.12が妥当であるとしている。実測値は、合田の提案した式よりも約30~75%および岩垣・木村・岸田が妥当であるとした場合よりも約10~50%小さく、

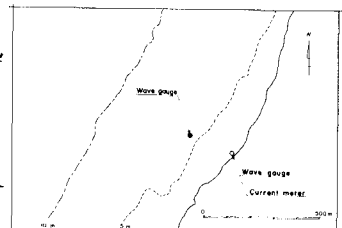


図-1 観測地点

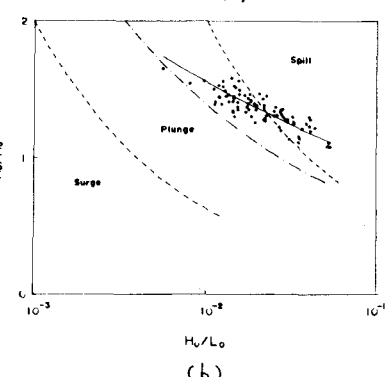
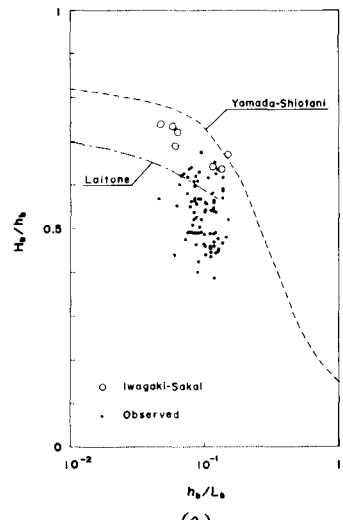


図-2 (a), (b) 碎波指標

実測値より得た定数 A の値は 0.09 である。このようすから、現在使われている碎波指標をそのまま現地海岸へ適用することは無理があると思われる。

質量輸送速度：Longuet-Higgins は、境界層理論に基づき、粘性を考慮した水平床上における質量輸送速度を定義した。Russel-Orrorso は、 kh (k : 波数, h : 水深) が 0.72~1.5 の範囲では、この理論値は実験値と良く一致することを明らかにしている。実測値と比較した結果、Russel-Orrorso が指摘している範囲では、碎波および非碎波の場合とも Longuet-Higgins の理論値と良く合っている。また、 kh がそれよりも小さい場合には、碎波および非碎波の場合とも理論値と異なってくることがわかった。

図-3(a) および(b) は、碎波時の資料についてであり、実線が Longuet-Higgins の理論値を示す。(a) をみると、実測値は、上部では理論値と良く合っており、下部では、上部と比較すると理論値との差は若干大きくなるようである。(b) をみると、実測値と理論値との差は、上部および下部とも(a)と比較すると大きくなり、特に下部では、実測値は沖向きの流れであるのにに対して、理論値は岸向きとなっている。

長周期の圧力変動および physical spectrum：実際の海での波浪には、風波、うねりおよび潮流などの他に、サーフビートと呼ばれる長周期の圧力変動があることが知られている。0.07 Hz 以上の周波数成分の波を除去して再合成して得た長周期圧力変動について検討した結果、振幅の平均値の範囲は、岸および沖で、それぞれ、0.073~0.201 m および 0.021~0.057 m であり、岸の振幅のほうが沖のそれよりも大きく、岸では、水深が小さくなると振幅が大くなる傾向がみられる。また、physical spectrum は、碎波する波が多くなる場合を除くと、岸から沖への形を良く伝播し、その位相

差は約 37 秒である。さて、朝倉・本村・瀬山は、physical spectrum のエネルギー密度が大きい部分では、サーフビートの水位が低下し、逆にエネルギー密度が小さい部分では、水位が上昇する傾向があることを実験にて報告している。図-4(a)

および(b) は、physical spectrum のエネルギー密度と長周期圧力変動の変位との関係について示したもので、これぞ、エネルギー密度が大きい場合および小さい場合についてである。図中の黒丸、白丸、四角および三角印は、それぞれ、沖、岸の非碎波、碎波し始めおよび碎波中についてのものである。(a) をみると、長周期圧力変動の変位は、沖および岸で、それぞれ、

25 例中 17 例 および 27 例中 19 例が低く、その範囲は、それから、-3.5~2.6 cm および -10.6~5.8 cm である。(b) をみると、長周期圧力変動の変位は、沖および岸で、それぞれ、44 例中 32 例 および 48 例中 36 例が高く、その範囲は、それから、-4.1~4.1 cm および -12.7~13.0 cm である。このように長周期圧力変動の変位は、physical spectrum のエネルギー密度が大きい場合に低く、小さい場合に高くなることが多いようである。

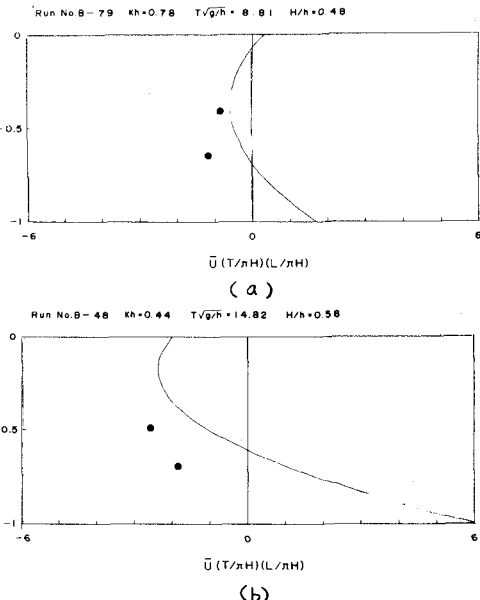


図-3 (a), (b) 質量輸送速度

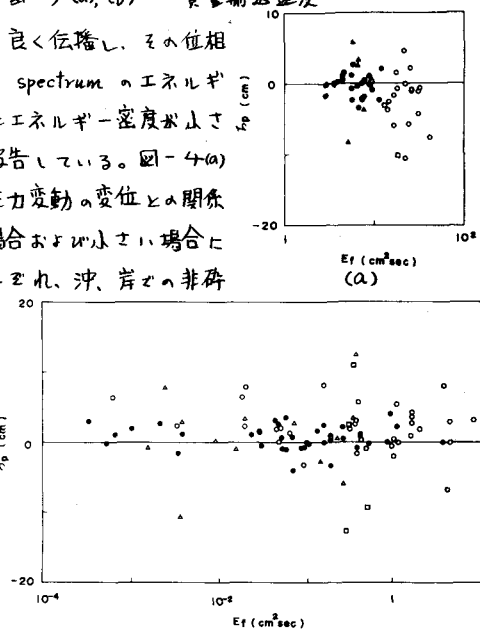


図-4 (a), (b) 長周期圧力変動の変位とエネルギー密度との関係